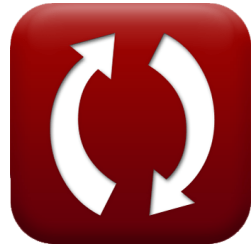




calculatoratoz.com



unitsconverters.com

Taylors Stabilitätszahl und Stabilitätskurven Formeln

Rechner!

Beispiele!

Konvertierungen!

Lesezeichen calculatoratoz.com, unitsconverters.com

Größte Abdeckung von Rechnern und wächst - **30.000+ Rechner!**
Rechnen Sie mit einer anderen Einheit für jede Variable - **Eingebaute Einheitenumrechnung!**

Größte Sammlung von Maßen und Einheiten - **250+ Messungen!**

Fühlen Sie sich frei, dieses Dokument mit Ihren Freunden zu **TEILEN!**

[Bitte hinterlassen Sie hier Ihr Rückkoppelung...](#)



Liste von 18 Taylors Stabilitätszahl und Stabilitätskurven Formeln

Taylors Stabilitätszahl und Stabilitätskurven ↗

1) Effektiver Winkel der inneren Reibung bei gegebenem gewichtetem Reibungswinkel ↗

fx

$$\phi' = \frac{\phi_{IF}}{\frac{\gamma}{f_s \cdot \gamma_{sat}}}$$

Rechner öffnen ↗

ex

$$9.915613^\circ = \frac{11^\circ}{\frac{31N/m^3}{2.8 \cdot 9.98N/m^3}}$$

2) Eingetauchtes Einheitsgewicht bei gewichtetem Reibungswinkel ↗

fx

$$\gamma' = \frac{\phi_w \cdot \gamma_{sat}}{\phi_{iw}}$$

Rechner öffnen ↗

ex

$$31.00119N/m^3 = \frac{130^\circ \cdot 9.98N/m^3}{41.85^\circ}$$



3) Eingetauchtes Einheitsgewicht bei gewichtetem und mobilisiertem Reibungswinkel ↗

fx $\gamma' = \frac{\gamma_{\text{sat}} \cdot \phi_w}{\phi_m}$

[Rechner öffnen ↗](#)

ex $32.435 \text{ N/m}^3 = \frac{9.98 \text{ N/m}^3 \cdot 130^\circ}{40^\circ}$

4) Eingetauchtes Einheitsgewicht gegebener Sicherheitsfaktor in Bezug auf die Scherfestigkeit ↗

fx $\gamma' = \frac{\tan\left(\frac{\phi_w \cdot \pi}{180}\right)}{\left(\frac{1}{\gamma_{\text{sat}}}\right) \cdot \left(\frac{\tan\left(\frac{\Phi_i \cdot \pi}{180}\right)}{f_s}\right)}$

[Rechner öffnen ↗](#)

ex $43.84998 \text{ N/m}^3 = \frac{\tan\left(\frac{130^\circ \cdot \pi}{180}\right)}{\left(\frac{1}{9.98 \text{ N/m}^3}\right) \cdot \left(\frac{\tan\left(\frac{82.87^\circ \cdot \pi}{180}\right)}{2.8}\right)}$

5) Eingetauchtes Stückgewicht bei gewichtetem und effektivem Reibungswinkel ↗

fx $\gamma' = \frac{\phi_{\text{IF}} \cdot \left(\frac{180}{\pi}\right)}{\phi' \cdot \left(\frac{180}{\pi}\right) / f_s \cdot \gamma_{\text{sat}}}$

[Rechner öffnen ↗](#)

ex $30.76917 \text{ N/m}^3 = \frac{11^\circ \cdot \left(\frac{180}{\pi}\right)}{\frac{9.99^\circ \cdot \left(\frac{180}{\pi}\right)}{2.8 \cdot 9.98 \text{ N/m}^3}}$



6) Gesättigtes Einheitsgewicht bei gewichtetem Reibungswinkel ↗

fx

$$\gamma_{\text{sat}} = \frac{\gamma' \cdot \phi_{\text{iw}}}{\phi_w}$$

Rechner öffnen ↗

ex

$$9.979615 \text{ N/m}^3 = \frac{31 \text{ N/m}^3 \cdot 41.85^\circ}{130^\circ}$$

7) Gesättigtes Einheitsgewicht bei gewichtetem und effektivem Reibungswinkel ↗

fx

$$\gamma_{\text{sat}} = \frac{\gamma' \cdot \phi'}{\phi_{\text{IF}} \cdot f_s}$$

Rechner öffnen ↗

ex

$$10.05487 \text{ N/m}^3 = \frac{31 \text{ N/m}^3 \cdot 9.99^\circ}{11^\circ \cdot 2.8}$$

8) Gesättigtes Einheitsgewicht bei gewichtetem und mobilisiertem Reibungswinkel ↗

fx

$$\gamma_{\text{sat}} = \frac{\gamma' \cdot \phi_m}{\phi_w}$$

Rechner öffnen ↗

ex

$$9.538462 \text{ N/m}^3 = \frac{31 \text{ N/m}^3 \cdot 40^\circ}{130^\circ}$$



9) Gesättigtes Einheitsgewicht gegebener Sicherheitsfaktor in Bezug auf die Scherfestigkeit ↗

fx $\gamma_{\text{sat}} = \left(\left(\frac{\gamma}{\tan((\varphi_{\text{IF}}))} \right) \cdot \left(\frac{\tan((\varphi))}{f_s} \right) \right)$

[Rechner öffnen ↗](#)

ex $9.97142 \text{ N/m}^3 = \left(\left(\frac{31 \text{ N/m}^3}{\tan((11^\circ))} \right) \cdot \left(\frac{\tan((9.93^\circ))}{2.8} \right) \right)$

10) Gewichteter Reibungswinkel bei gegebenem effektivem Winkel der inneren Reibung ↗

fx $\varphi_{\text{IF}} = \frac{\gamma \cdot \varphi'}{f_s \cdot \gamma_{\text{sat}}}$

[Rechner öffnen ↗](#)

ex $11.08252^\circ = \frac{31 \text{ N/m}^3 \cdot 9.99^\circ}{2.8 \cdot 9.98 \text{ N/m}^3}$

11) Gewichteter Reibungswinkel bei untergetauchtem Gerätewegewicht ↗

fx $\varphi_w = \frac{\gamma \cdot \varphi_{iw}}{\gamma_{\text{sat}}}$

[Rechner öffnen ↗](#)

ex $129.995^\circ = \frac{31 \text{ N/m}^3 \cdot 41.85^\circ}{9.98 \text{ N/m}^3}$



12) Gewichteter Reibungswinkel gegebener mobilisierter Reibungswinkel


[Rechner öffnen](#)

fx $\varphi_w = \frac{\gamma' \cdot \varphi_m}{\gamma_{sat}}$

ex $124.2485^\circ = \frac{31\text{N/m}^3 \cdot 40^\circ}{9.98\text{N/m}^3}$

13) Gewichteter Reibungswinkel gegebener Sicherheitsfaktor in Bezug auf die Scherfestigkeit


[Rechner öffnen](#)

fx $\varphi_w = a \tan \left(\left(\frac{\gamma'}{\gamma_{sat}} \right) \cdot \left(\frac{\tan((\Phi_i))}{f_s} \right) \right)$

ex $83.56667^\circ = a \tan \left(\left(\frac{31\text{N/m}^3}{9.98\text{N/m}^3} \right) \cdot \left(\frac{\tan((82.87^\circ))}{2.8} \right) \right)$

14) Mobilisierter Reibungswinkel bei gewichtetem Reibungswinkel


[Rechner öffnen](#)

fx $\varphi_m = \frac{\gamma_{sat} \cdot \varphi_w}{\gamma}$

ex $41.85161^\circ = \frac{9.98\text{N/m}^3 \cdot 130^\circ}{31\text{N/m}^3}$



15) Sicherheitsfaktor in Bezug auf die Scherfestigkeit ↗

fx $f_s = \left(\left(\frac{\gamma'}{\gamma_{sat}} \right) \cdot \left(\frac{\tan((\varphi))}{\tan((\varphi_{IF}))} \right) \right)$

[Rechner öffnen ↗](#)

ex $2.797593 = \left(\left(\frac{31N/m^3}{9.98N/m^3} \right) \cdot \left(\frac{\tan((9.93^\circ))}{\tan((11^\circ))} \right) \right)$

16) Sicherheitsfaktor in Bezug auf die Scherfestigkeit bei gegebenem gewichtetem Reibungswinkel ↗

fx $f_s = \frac{\gamma' \cdot \varphi'}{\varphi_{IF} \cdot \gamma_{sat}}$

[Rechner öffnen ↗](#)

ex $2.821006 = \frac{31N/m^3 \cdot 9.99^\circ}{11^\circ \cdot 9.98N/m^3}$

17) Winkel der inneren Reibung bei gegebenem gewichtetem Reibungswinkel ↗

fx $\varphi_{iw} = \frac{\varphi_w \cdot \gamma_{sat}}{\gamma}$

[Rechner öffnen ↗](#)

ex $41.85161^\circ = \frac{130^\circ \cdot 9.98N/m^3}{31N/m^3}$



18) Winkel der inneren Reibung bei gegebenem Sicherheitsfaktor **fx**

$$\varphi = a \tan \left(\frac{f_s \cdot \gamma_{sat} \cdot \tan((\varphi_{IF}))}{\gamma} \right)$$

Rechner öffnen **ex**

$$9.938374^\circ = a \tan \left(\frac{2.8 \cdot 9.98 \text{N/m}^3 \cdot \tan((11^\circ))}{31 \text{N/m}^3} \right)$$



Verwendete Variablen

- f_s Sicherheitsfaktor
- γ_{sat} Gesättigtes Einheitsgewicht (*Newton pro Kubikmeter*)
- γ' Gewicht der untergetauchten Einheit (*Newton pro Kubikmeter*)
- φ Winkel der inneren Reibung (*Grad*)
- φ' Effektiver Winkel der inneren Reibung (*Grad*)
- Φ_i Winkel der inneren Reibung des Bodens (*Grad*)
- Φ_{IF} Gewichteter Reibungswinkel für innere Reibung (*Grad*)
- Φ_{iw} Innerer Reibungswinkel mit gewichtetem Reibungswinkel (*Grad*)
- Φ_m Winkel der mobilisierten Reibung (*Grad*)
- Φ_w Gewichteter Reibungswinkel (*Grad*)



Konstanten, Funktionen, verwendete Messungen

- **Konstante:** pi, 3.14159265358979323846264338327950288
Archimedes-Konstante
- **Funktion:** atan, atan(Number)
Mit dem inversen Tan wird der Winkel berechnet, indem das Tangensverhältnis des Winkels angewendet wird, das sich aus der gegenüberliegenden Seite dividiert durch die anliegende Seite des rechtwinkligen Dreiecks ergibt.
- **Funktion:** tan, tan(Angle)
Der Tangens eines Winkels ist ein trigonometrisches Verhältnis der Länge der einem Winkel gegenüberliegenden Seite zur Länge der an einen Winkel angrenzenden Seite in einem rechtwinkligen Dreieck.
- **Messung:** Winkel in Grad ($^{\circ}$)
Winkel Einheitenumrechnung ↗
- **Messung:** Bestimmtes Gewicht in Newton pro Kubikmeter (N/m³)
Bestimmtes Gewicht Einheitenumrechnung ↗



Überprüfen Sie andere Formellisten

- Tragfähigkeit für Streifenfundamente für C-Φ-Böden Formeln ↗
- Tragfähigkeit bindiger Böden Formeln ↗
- Tragfähigkeit nichtbindiger Böden Formeln ↗
- Tragfähigkeit von Böden Formeln ↗
- Tragfähigkeit von Böden: Meyerhofs Analyse Formeln ↗
- Fundamentstabilitätsanalyse Formeln ↗
- Atterberggrenzen Formeln ↗
- Tragfähigkeit des Bodens: Terzaghis Analyse Formeln ↗
- Verdichtung des Bodens Formeln ↗
- Erdbewegung Formeln ↗
- Seitendruck für bindigen und nichtbindigen Boden Formeln ↗
- Mindestfundamenttiefe nach Rankine-Analyse Formeln ↗
- Pfahlgründungen Formeln ↗
- Porosität der Bodenprobe Formeln ↗
- Schaberproduktion Formeln ↗
- Versickerungsanalyse Formeln ↗
- Hangstabilitätsanalyse mit der Bishop-Methode Formeln ↗
- Hangstabilitätsanalyse mit der Culman-Methode Formeln ↗
- Bodenursprung und seine Eigenschaften Formeln ↗
- Spezifisches Gewicht des Bodens Formeln ↗
- Stabilitätsanalyse unendlicher Steigungen Formeln ↗
- Stabilitätsanalyse unendlicher Steigungen im Prisma Formeln ↗
- Vibrationskontrolle beim Strahlen Formeln ↗
- Hohlraumverhältnis der Bodenprobe Formeln ↗
- Wassergehalt des Bodens und verwandte Formeln Formeln ↗

Fühlen Sie sich frei, dieses Dokument mit Ihren Freunden zu **TEILEN!**



PDF Verfügbar in

[English](#) [Spanish](#) [French](#) [German](#) [Russian](#) [Italian](#) [Portuguese](#) [Polish](#) [Dutch](#)

7/16/2024 | 6:22:52 AM UTC

[Bitte hinterlassen Sie hier Ihr Rückkoppelung...](#)

